

# 矩形水路에서 鉛直 堤防 및 橋臺 附近의 河床 洗掘

## Scour Erosion Around Vertical Embankments and Abutments in a Rectangular Channel

朴 承 禹\*  
Park, Seung Woo

### Summary

This paper attempts to qualitatively characterize scour erosion processes near USGS constriction type-I structures with vertical embankments and abutments. The scour dimensions and rates of sand beds around the structure models were measured in a rectangular flume. The test results showed that scour took place at a rapid rate at initial stages, which were followed by a stage of slow and general scour with greater extends. The maximum scour depth was observed near upstream corner of embankments. Empirical relationships for scour dimensions were derived, that were based on the results from a dimensional analysis of scour processes.

### I. 緒 論

흐름의 方向에 어떤 急激한 變化가 있는 경우 그 부근의 河床에 局部的인 浸蝕現象인 洗掘(scour erosion)이 發生된다. 그 예는 橋脚의 上下流나 水制工 부근의 河床에서 觀察할 수 있는 自然狀態의 웅덩이이다. 이와 같은 水工構造物 주위의 河床 浸蝕은 그 발생 범위가 局部的인 特徵이 있다. 따라서 이를 局部的 洗掘(local scour)이라고 하여 河床降下(channel degradation)를 의미하는一般的洗掘(general scour)과 區分하기도 한다<sup>12)</sup>.

水工構造物 주위의 局部的 洗掘은 그 規模에 따라서는 構造物의 安全에 위협이 된다. 橋脚이나 堤防의 봉괴와 유실 등은 洗掘과 밀접한 관계를 갖는 것이 보통이다. 따라서, 水工構造物의 安全과 經濟性을 위하여는豫想 最大 洗掘 規模의 정확한豫測이 매우 重要하다<sup>6)</sup>.

局部的 洗掘은 흐름에 의한 浸蝕力(erosive forces)이 그 지점의 浸蝕 低抗力(erosion-resistance forces)보다 큰 경우에 發生된다<sup>1)</sup>. 浸蝕力은 河床에 垂直 方向으로 작용하는 흐름이나 2차 흐름(secondary currents)에 의한 揚力, 剪斷力과 그의 變化로부터 起因한다. 한편, 浸蝕 低抗力은 河床 物質에 따라 左右되며, 粘着性이나 armouring 效果 등은 低抗力의 증가에 매우 重要하다. 그러나, 浸蝕力과 低抗力의 相互作用의 定量的 解析은 매우 어려우며, 따라서 洗掘 規模의 推定에는 物理的 模型 등이 活用되고 있다<sup>1,12)</sup>.

本論文은 USGS(U.S. Geological Survey)의 突然縮小斷面 第1型 (Constriction Type I)<sup>3)</sup>의 일종인 鉛直 堤防 및 橋臺 構造物의 주위에서의 洗掘過程을 次元 解析과 水理模型 實驗을 利用하여 分析하는 데 그 目的이 있다. USGS 第1型은 突然縮小斷面에서의 水位-流量 關係로 부터 첨두 유출量의 推定을 試圖할 目的으로 그 水理的 特性이究

\*서울大學校 農科大學

明된 構造物이다<sup>8)</sup>. 본 構造物은 특히 現在 建設중인 錦江 河口의 假縮切 工事에서 檢討된 바 있는 形態로서, 이에 관한 洗掘 規模 등의 定性的 評價에 도움이 될 수 있을 것이다.

## II. 洗掘過程의 解析

### 가. 洗掘方程式

Laursen(1952)은 洗掘의 時間的 變化率은 流失이 發生되는 곳으로 부터 流砂의 運送力과 그 地點에 서의 流砂 供給率의 差異와 같다고 하였다<sup>1)</sup>. 즉 임의의 斷面에 流入되는 流砂量 보다 그 斷面으로 부터 運送되는 量이 많은 경우에 流失이 發生되는 것이다. 따라서, 洗掘 規模를 繼續方程式을 이용하여 表示하면 다음과 같다.

$$\frac{dS_c}{dt} = g(O) - g(I) \quad (1)$$

여기서  $S_c$ 는 斷面 形態를 表示하는 關係式,  $g(O)$ 는 斷面으로 부터 運送되는 流砂量,  $g(I)$ 는 流入 流砂量, 그리고  $t$ 는 時間을 表示한다.

式(1)을 時間에 對하여 積分하여 整理하면 다음과 같다(ASCE, 1975)<sup>11)</sup>.

$$S_c = f[S_*, g(I), g(O), t] \quad (2)$$

여기서,  $S_c$ 는 斷面의 洗掘深,  $S_*$ 는 初期의 地盤 特徵을 表示하는 變數이다. 式(2)에서는 洗掘 規模는 流砂 運送量, 供給量, 그리고 時間의 函數로서 나타낼 수 있음을 보여준다. 여기서, 式(2)의 誘導에서 흐름의 狀態나 其他 어떤 假定도 포함하지 않았으며, 結果적으로 그 解는 任意 斷面에서의 洗掘 規模를 推定하는 데 活用할 수 있다.

式(2)의 流砂量은 흐름의 特性과 流砂의 性質에 依하여 支配된다. 흐름의 特性은 또한 境界 幾何的條件, 流速, 그리고 流體의 性質 등에 의하여 決定된다. 따라서, 式(2)의 右側頂에 영향을 주는 因子들을 整理하면 다음과 같다<sup>11), 12)</sup>.

$$S_c = \phi[V, d, \nu, \rho, a, g, S_*, \tau_c, \sigma, t] \quad (3)$$

여기서,  $V$ 는 流速,  $d$ 는 水深,  $\nu$ 는 軟粘性係數,  $\rho$ 는 密度,  $a$ 는 堤防 또는 交각의 幅,  $g$ 는 重力加速度,  $S_*$ 는 斷面의 形狀因子,  $\tau_c$ 는 河床 粒子의 限界 掃流力,  $\sigma$ 는 流砂 粒徑 分布의 偏差 등이다.

式(3)의 次元 解析의 結果는 다음과 같이 整理할 수 있다.

$$\phi_1[S_c/d, a/d, V/\sqrt{gd}, v/u_*, Vd/v, Vt/S_c, \sigma, S_*] = 0 \quad (4)$$

여기서  $u_*$ 는  $\sqrt{\tau_c}/\rho$ 로서 粒子의 마찰 속도이다.

Laursen(1962)<sup>8)</sup>는 斷面의 突然 縮小(channel contraction)의 경우 最終 河床 洗掘은

$$S_c/d = \phi_2(b_1/b) \quad (5)$$

로서 表示할 수 있다고 하였다. 여기서,  $b$ 는 斷面의 幅을 代表하는 幾何因子로,  $b_1$ 은 突出部와 河床 사이의 幅,  $b$ 는 河川幅이다. 한편, Blenck(1962)는 橋脚 주위의 洗掘 깊이  $S_c$ 는<sup>13)</sup>

$$S_c/d = \phi_3(a/d) \quad (6)$$

의 關係式으로 表示할 수 있다고 하였다. 河川에 橫斷으로 設置한 堤防에 따른 洗掘 깊이의 實驗式으로 Liu等 (1961)은<sup>12)</sup>

$$S_c/d = \phi_4(a/d, F_r) \quad (7)$$

를 提案하였으며, 여기서  $F_r = v/\sqrt{gd}$  즉 Froude 數이다. 미시시피 江에서의 橫斷 方向의 石築에 의한 洗掘 깊이는<sup>12)</sup>

$$S_c/d = \phi_5(F_r) \quad (8)$$

의 式으로 表示한 바 있다. 그밖에도 Rajaratnam과 Beltaos(1977)<sup>14)</sup>는 垂直 점트 流(vertical jet)에 의한 洗掘 諸元을 式(4)의 簡易形으로 表示한 바 있고 Shen等 (1969)<sup>15)</sup>은 橋脚 주위의 洗掘 깊이  $S_c$ 는 Reynolds 數의 函數로 定義할 수 있다고 하였다.

한편, 洗掘 速度와 關係한 實驗 結果로서 Laursen (1952)는<sup>11)</sup>

$$S_c/d = \phi_6[v/u_*, vt/a] \quad (9)$$

의 關係식을 定義한 바 있으며  $S_c/d$ 는  $vt/a$ 의 대수 할수 關係를 만족한 다고 하였다. Ahmad(1953)은 時間의 経過에 따른 洗掘의 變化는 初期에는 급상승을 보이나 차차 減少된다고 하였다<sup>16)</sup>.

以上的 結果로 부터 式(4)는 洗掘 過程을 說明하는 一般式으로 假定하는 데 큰 無理가 없을 것으로 料되었다.

### 나. 突然縮小 第I型의 洗掘

Fig. 1은 USGS 突然縮少 斷面의 第I型의 일종인 비대칭形의 例를 보여 준다. 第I型은 특히 堤防 및 橋臺가 鉛直의 경우로서 콘크리트 용벽이나 sheet pile 등에 의한 構造物의 경우에 該當된다. 여기서 非對稱型은 堤防이 河川의 한 邊에서 建設되는 경우를 意味한다.

第I型의 堤防 주위의 洗掘 規模의 關係式은 式

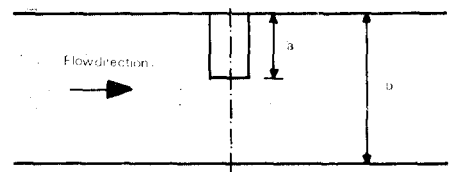
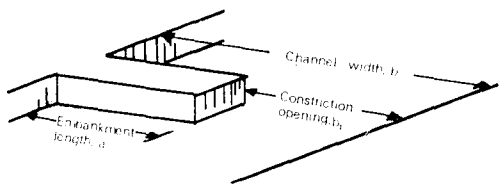


Fig. 1. Definition sketch of a USGS constriction type I structure

(4)를 간략히 하여

$$S_c/d = f_1(a/d, F_r, S_h) \cdot f_2(vt/S_c) \cdot f_3(v/u_*, \sigma) \quad \dots \dots \dots (10)$$

로서 表示할 수 있다. 여기서  $f_2$ 와  $f_3$ 는 각각 經過時間과 流砂의 特性에 따른 洗掘의 영향을 나타내 준다. 式(10)으로부터 同一한 流砂에 대한 洗掘規模는 時間의 영향을 일정하다고 假定할 때 다음과 같이 表示할 수 있다. 즉,

$$S_c/d = f_1(a/d, F_r, S_h) \quad \dots \dots \dots (11)$$

이다. 따라서, 다음에서는 式(11)의 關係式을 中心으로 第I型 주위의 洗掘에 관한 實驗式을 試圖하도록 하였다.

### III. 材料 및 方法

#### 가. 實驗 裝置

非對稱 USGS 突然 縮小 斷面 第I型의 鉛直 堤防과 橋臺(Fig. 1 參照) 부근의 河床 洗掘의 實驗은 서울大學校 農工學科 水理 實驗室의 可動傾斜水路 裝置를 이용하여 實시하였다. Fig. 2는 水路 裝置의 概略圖를 보여 준다. 水路는 幅 0.4m, 높이 0.6m의 矩形斷面으로 兩側面은 유리板이며, 바닥은 鋼板으로 매끄럽게 處理되어 있다. 水路의 全長은 7.2m로서 로울러를 이용 지지되어 傾斜의 調整이 可能토록 裝置되어 있다<sup>18)</sup>.

Fig. 2에서와 같이 水路 裝置는 水槽와 連結되어 있

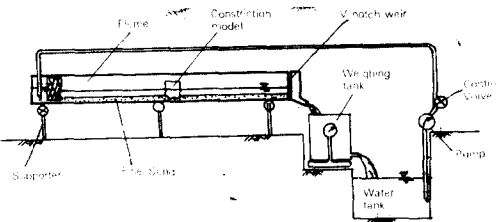


Fig. 2. Schema of the experimental flume

으며 揚水機를 利用하여 水路의 流入部로 送水되며 교란 瞬値를 目的으로 설치한 스크린을 通過하여 水路를 거쳐 重量測定用水槽에 集水되어 水槽로 모이게 되어 순환되도록 되어 있다. 이때 送水量은 揚水機의 ベンブ를 利用하여 조절하였다. 이때의 流量은 水路의 下端에 설치한 V-notch weir의 水位-流量關係로부터 定義하였다<sup>18)</sup>.

USGS 第I型의 模型은 透明 아크릴로 製作하였으며 模型의 그 規格은 堤防의 길이, 橋臺의 길이, 그리고 堤防과 橋臺의 接觸角 등의 形狀因子의 組合으로 構成하였다. 堤防의 길이는 100, 200, 250 mm의 3 處理, 橋臺의 길이는 100, 200, 400mm의 3 處理, 그리고 接觸角은 半徑 16.7, 25, 50mm의 3 處理로서 總 27個의 橫型을 製作하였다. 그러나,豫備 實驗의 결과 半徑의 影響이 微微한 關係로 25 mm와 50mm의 2個로 줄였으며 그 影響의 分析도省略하였다<sup>18)</sup>.

#### 나. 河床 材料

洗掘 實驗을 위한 河床 物質은 錦江 河口附近의 砂洲로부터 채취한 모래를 使用하였다. 모래의  $D_{50}$ 는 0.39mm이며 체 分析 結果는 Fig. 3과 같았다. Fig. 3에서와 같이 모래의 粒徑은 0.15~0.60 mm의 涌混로서 均質한 分布를 보였다<sup>18)</sup>.

#### 다. profile meter

河床 洗掘 또는 堆積 등에 따른 河床 變化를 보다 正確히 測定할 目的으로 pin型 profile meter를 製作, 利用하였다 profile meter의 概略圖는 Fig. 4와 같다.

Fig. 4에서와 같이 25個의 일정한 크기의 pin을 垂直으로 움직일 수 있도록 하여 測定하고자 하는 斷面 위에 올려 놓으면 그 斷面의 相對的 標高가 pin의 머리의 配列로서 表示되도록 構成되었다.

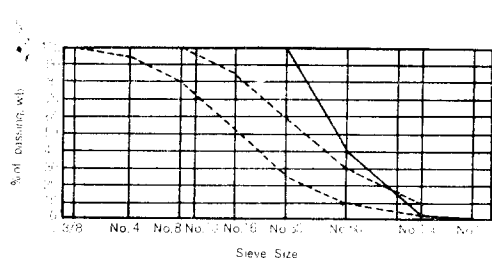


Fig. 3. Gradation curve for tested sand

pin의 뒷면에는 尺을 부착하여 測點別 pin의 높이를 測定하도록 하였다. 따라서 任意 斷面의 形狀은 profile meter를 위치시킨 다음 pin 머리를 촬영하고, 그 資料를 讀하여 그 結果로 부터 地盤高의 變化 등을 測定하는 것이다. Park 等(1983)은 이와類似한 profile meter를 土壤面의 表面 凹凸의 測定에 使用한 바 있으며<sup>6)</sup> 本 profile meter는 그와類似한種類이다.

#### 라. 實驗 方法

本 實驗에서는 흐름의 狀態와 持續 時間에 따라 3가지의 處理를 試圖하였다. 總 40回의 實驗 중 1~30回까지는 定常狀態의 흐름에 대한 實驗이었으며, 31~40回는 非正常 狀態의 흐름에 대한 實驗을 각각 實시하였다. 한편, 持續時間別로는 1~19回까지는 30分 內外 동안, 20~30回는 10分 內外, 그리고 非正常狀態는 비교적 짧은 時間동안에 걸쳐 實施하였다(Table-1 參照).

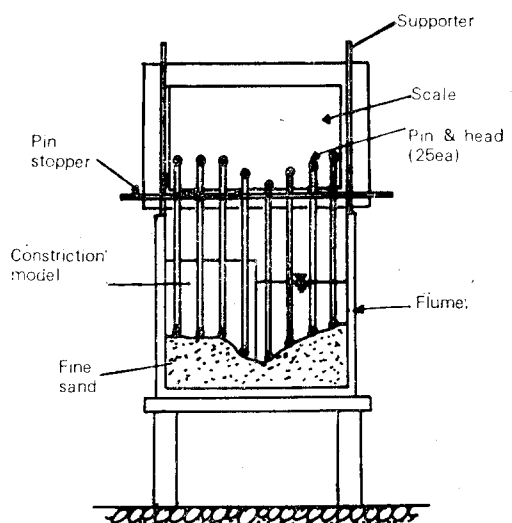


Fig. 4. Schema of a pin-type profile meter used in the study

定常 狀態의 흐름에 대한 實驗은 다음과 같은 順序로 實施하였다.

- ① 河床 材料를 水路의 바닥에 10cm 程度의 두께로 훑손을 利用하여 均一하게 한다.
- ② 揚水機를 가동시키고 벨브를 열어 水位를 正常狀態에 이르도록 한다.
- ③ 水位가 正常狀態에 이른 후 河床이 安定된 다음, profile meter를 利用 주요 단면의 原地盤 狀態를 촬영, 기록하여 둘다(Fig. 5 參照).

Table-1. Experimental conditions and measuring items

| Run No. | Constriction model dimension | Flume slope | Water depth, cm | Discharge, l/s | Duration, min | Measuring items |                    |                 | Remarks |
|---------|------------------------------|-------------|-----------------|----------------|---------------|-----------------|--------------------|-----------------|---------|
|         |                              |             |                 |                |               | Scouring rates  | Scouring dimension | Angle of repose |         |
| 1       | 100-50R-20                   | 1/500       | 20.65           | 4.6881         | 30'           | ○               |                    |                 |         |
| 2       | 100-50R-20                   | -           | -               | -              | -             |                 |                    |                 |         |
| 3       | 100-50R-20                   | 1/500       | 22.15           | 6.3206         | 30'           | ○               | ○                  |                 |         |
| 4       | "                            | 1/100       | 22.35           | -              | -             |                 |                    |                 |         |
| 5       | "                            | "           | 22.3            | 7.8172         | -             |                 |                    |                 |         |
| 6       | "                            | "           | 24.4            | 10.8763        | 30'           | ○               | ○                  | ○               |         |
| 7       | "                            | 1/200       | 23.2            | 8.4481         | 30'           | ○               | ○                  | ○               |         |
| 8       | 100-25R-20                   | 1/238       | 20.3            | 4.4704         | 30'           | ○               | ○                  | ○               |         |
| 9       | "                            | "           | 23.8            | 9.1918         | 30'           | ○               | ○                  | ○               |         |
| 10      | 100-25R-10                   | 1/200       | 23.6            | 9.2060         | 30'           | ○               | ○                  | ○               |         |
| 11      | "                            | "           | 24.0            | 9.8404         | 30'           | ○               | ○                  | ○               |         |

矩形水路에서 鉛直 堤防 및 橋臺 附近의 河床 洗掘

|    |            |       |      |         |         |      |   |   |           |
|----|------------|-------|------|---------|---------|------|---|---|-----------|
| 12 | 400-25R-20 | "     | 20.2 | 7.3508  | 30'     | ○    | ○ | ○ |           |
| 13 | "          | "     | 23.4 | 9.8255  | 30'     | ○    | ○ | ○ |           |
| 14 | 200-25R-20 | "     | 22.0 | 6.5252  | 30'     | ○    | ○ | ○ |           |
| 15 | "          | "     | 23.7 | 9.2055  | 30'     | ○    | ○ | ○ |           |
| 16 | 100-25R-10 | 1/100 | 21.0 | 5.8857  | 30'     | ○    | ○ | ○ |           |
| 17 | 100-25R-20 | "     | 22.2 | 7.5398  | 30'     | ○    | ○ | ○ |           |
| 18 | 100-25R-5  | "     | 23.0 | 8.9386  | 30'     | ○    | ○ | ○ |           |
| 19 | 200-25R-10 | "     | 21.6 | 6.6891  | 30'     | ○    | ○ | ○ |           |
| 20 | 100-25R-20 | "     | 10.8 | 14.4508 | 11.6'   | ○    | ○ | ○ |           |
| 21 | "          | "     | 11.0 | 4.2168  | 10.6'   | ○    | ○ | ○ |           |
| 22 | 100-25R-20 | 1/100 | 11.2 | 2.4030  | 11.7'   | ○    | ○ | ○ |           |
| 23 | "          | "     | "    | 9.8347  | 13.5'   | ○    | ○ | ○ |           |
| 24 | "          | "     | "    | 12.666  | 11.3'   | ○    | ○ | ○ |           |
| 25 | "          | "     | "    | 8.4936  | .       | ○    | ○ | ○ |           |
| 26 | "          | "     | "    | 13.2640 | 10.01'  | ○    | ○ | ○ |           |
| 27 | "          | "     | "    | 11.7299 | 8.5'    | ○    | ○ | ○ |           |
| 28 | "          | "     | "    | 11.0    | 4.6895  | 8.5' | ○ | ○ |           |
| 29 | "          | "     | "    | 10.6    | 3.4875  | 8.8' | ○ | ○ |           |
| 30 | "          | "     | "    | 10.8    | 10.4024 | 8.5' | ○ | ○ |           |
| 31 | "          | "     | "    | "       | "       | ○    | ○ | ○ | 0.50m/sec |
| 32 | "          | "     | "    | "       | "       | ○    | ○ | ○ | 0.44      |
| 33 | "          | "     | "    | "       | "       | ○    | ○ | ○ | 0.48      |
| 34 | "          | "     | "    | "       | "       | ○    | ○ | ○ | 0.44      |
| 35 | "          | "     | "    | "       | "       | ○    | ○ | ○ | 0.59      |
| 36 | "          | "     | "    | "       | "       | ○    | ○ | ○ | 0.29      |
| 37 | "          | "     | "    | "       | "       | ○    | ○ | ○ | 0.36      |
| 38 | "          | "     | "    | "       | "       | ○    | ○ | ○ | 0.36      |
| 39 | "          | "     | "    | "       | "       | ○    | ○ | ○ | 0.50      |
| 40 | "          | "     | "    | "       | "       | ○    | ○ | ○ | 0.50      |

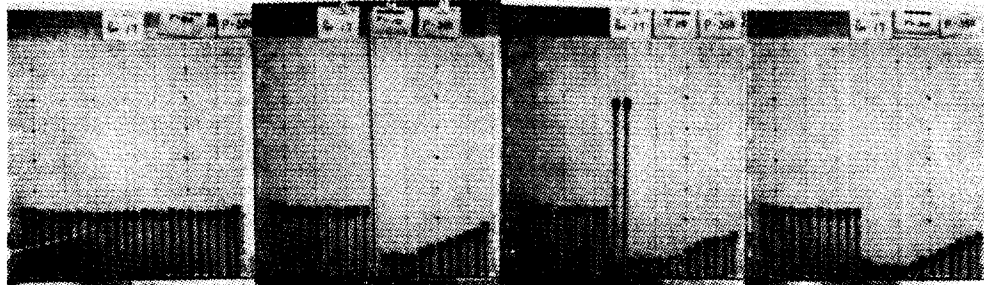


Fig. 5. Profile-meter pictures showing channel bottom profiles at an initial condition and at 10, 20, and 30 minutes after channel constriction (Run 17)

④ 縮小 斷面 模型을 河床에 插入하여 設置하고 時間을 測定해 둔다.

⑤ 每 10分마다 profile meter를 利用 앞서 測定한 斷面의 河床 狀態를 촬영, 기록한다 (Fig. 5 參照).

⑥ V-notch weir의 水位를 測定하여 流量을 求하고 主要 斷面에서의 水位와 河床高를 標尺을 이

용하여 記錄한다.

⑦ 實驗 持續 時間이 經過한 後 揚水機의 가동을 中止시키고 Fig. 6에서와 같은 河床 洗掘 形態 등의 幾何的 諸元을 測定한다.

한편, 非正常 狀態이 흐름에서의 洗掘 實驗은 河床을 고른 후, 縮小斷面模型을 設置한 後, 揚水機를 가동하므로서 흐름 狀態를 模擬發生시켰다. 이

때, 水深이 비교적 얕고 流速이 相對的으로 빠른  
상태가 再現되어 河床洗掘에 미치는 영향을 觀察할  
수 있도록 하였다.

Table-1은 實驗回數別 斷面模型의 諸元과 水理  
的條件, 그리고 測定內容등을 整理하고 있다.  
Table-1에서와 같이 正常狀態의 實驗에서의 水位는  
10~24cm, 流量은 10.8~14.4 l/s의 범위였다. 非  
定常流 狀態의 實驗의 流速은 0.3~0.5 m/s였다.

## IV. 結果 및 考察

### 가. 洗掘 形態

本 實驗의 回數別 水理的 條件과 Fig. 6의 洗掘  
形態의 諸元 등은 Table-2와 같았다. Table-2에서  
와 같이 最大 洗掘深 ( $S_1$ )은 10.9cm이고 이때의  
Froude數는 0.18이었다. 이 때의 堤防 直下端의  
洗掘深 ( $S_2$ )은 그 最大值가 11.2로서 洗掘의 進行  
에 따라 縮小 模型의 支持에相當한 外力이 必要하였다.

上流側 堤防 前面에 發生하는 洗掘의 범위  $B_1$ (Fig.  
6 參照)는 5~20cm의 범위로서 堤防의 길이  $a$ 와의  
比, 즉  $B_1/a$ 의 값은 平均 0.76이었다. 또한, 橋臺  
로 부터 對岸 方向의 洗掘의 범위  $B_2$ 는 堤防의 길이  
와의 比  $B_2/a$ 가 0.4~1.2 程度의 값을 보였다.

Fig. 6. Definition sketch of scour dimensions

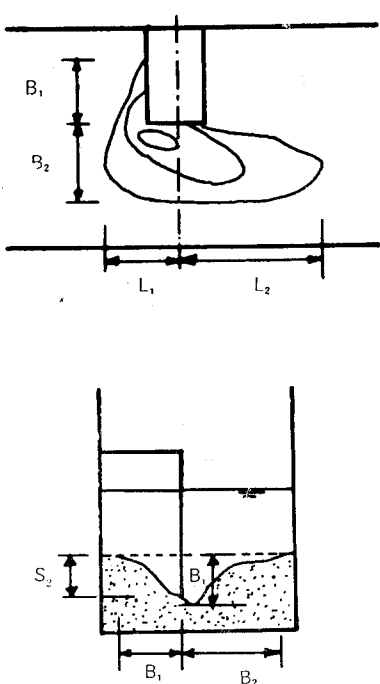


Table- 2. Hydraulic conditions and scour dimensions

| Run No. | $F_r.$ No. | $a/d$  | Scour dimensions (cm) <sup>1)</sup> |       |       |       |       |       | angle of repose<br>( $\phi$ ) |
|---------|------------|--------|-------------------------------------|-------|-------|-------|-------|-------|-------------------------------|
|         |            |        | $B_1$                               | $B_2$ | $L_1$ | $L_2$ | $S_2$ | $S_1$ |                               |
| 1       |            |        |                                     |       |       |       |       |       |                               |
| 2       |            |        |                                     |       |       |       |       |       |                               |
| 3       |            |        |                                     |       |       |       |       |       |                               |
| 4       |            |        |                                     |       |       |       |       |       |                               |
| 5       |            |        |                                     |       |       |       |       |       |                               |
| 6       | 0.1825     | 1.5385 | 20.0                                | 20.6  | 22.5  | 40.1  | 9.8   | 10.9  | 27.9                          |
| 7       | 0.1468     | 1.5748 | 16.5                                | 19.0  | 19.0  | 26.5  | 7.7   | 8.9   | 25.1                          |
| 8       | 0.1240     | 2.1505 | 9.6                                 | 9.0   | 12.8  | 9.0   | 4.0   | 3.8   | 22.9                          |
| 9       | 0.1676     | 1.6260 | 17.5                                | 20.0  | 19.8  | 23.0  | 8.5   | 9.5   | 25.4                          |
| 10      | 0.1658     | 0.8065 | 8.5                                 | 9.0   | 10.6  | 9.2   | 3.8   | 3.9   | 23.4                          |
| 11      | 0.1730     | 0.7937 | 8.0                                 | 10.2  | 8.9   | 10.0  | 5.1   | 3.9   | 20.9                          |
| 12      | 0.1267     | 2.2222 | 8.0                                 | 12.0  | 8.0   | 15.0  | 3.8   | 4.6   | 20.9                          |
| 13      | 0.1552     | 1.5873 | 12.0                                | 20.0  | 20.0  | 11.0  | 6.9   | 9.5   | 25.4                          |
| 14      | 0.1316     | 1.7391 | 9.0                                 | 17.0  | 16.0  | 10.0  | 5.4   | 5.5   | 17.9                          |
| 15      | 0.1476     | 1.4925 | 13.0                                | 20.0  | 20.2  | 22.0  | 6.4   | 7.5   | 20.6                          |
| 16      | 0.2793     | 1.5385 | 10.0                                | 9.0   | 12.5  | 7.0   | 4.8   | 4.2   | 25.0                          |

矩形水路에서 鉛直 堤防 및 橋臺 附近의 河床 洗掘

|    |        |        |      |      |      |       |      |      |      |
|----|--------|--------|------|------|------|-------|------|------|------|
| 17 | 0.2435 | 2.3810 | 18.0 | 19.0 | 21.0 | 23.2  | 9.5  | 9.7  | 27.1 |
| 18 | 0.2439 | 0.5319 | 5.0  | 7.0  | 11.0 | 5.0   | 3.6  | 3.5  | 26.6 |
| 19 | 0.2200 | 1.2048 | 10.0 | 9.0  | 13.5 | 10.0  | 2.4  | 4.0  | 24.0 |
| 20 | 0.1488 | 1.1111 | 20.0 | 20.6 | 21.5 | 30.4  | 11.2 | 10.0 | 25.9 |
| 21 | 0.3153 | 4.1667 | 10.1 | 16.5 | 15.0 | 20.15 | 5.6  | 8.2  | 39.1 |
| 22 | 0.4507 | 7.6923 | 7.0  | 12.5 | 10.0 | 8.0   | 2.8  | 4.0  | 29.7 |
| 23 | 0.1884 | 1.6807 | 20.0 | 20.6 | 20.0 | 18.5  | 6.8  | 10.0 | 26.6 |
| 24 | 0.1586 | 1.2658 | 18.0 | 20.0 | 21.0 | 22.5  | 9.8  | 9.9  | 28.8 |
| 25 | 0.2050 | 1.9608 | 10.2 | 15.5 | 19.0 | 12.5  | 6.4  | 7.4  | 36.0 |
| 26 | 0.1556 | 1.2121 | 20.0 | 18.0 | 21.0 | 18.5  | 8.9  | 9.4  | 25.2 |
| 27 | 0.1671 | 1.3793 | 17.0 | 10.4 | 19.5 | 19.0  | 6.2  | 8.0  | 25.2 |
| 28 | 0.3022 | 3.7736 | 8.5  | 14.5 | 15.5 | 14.5  | 5.6  | 7.8  | 42.5 |
| 29 | 0.3561 | 5.1282 | 9.5  | 10.5 | 13.5 | 8.5   | 4.0  | 6.5  | 34.4 |
| 30 | 0.1851 | 1.6000 | 15.5 | 20.0 | 18.5 | 19.0  | 7.5  | 8.1  | 27.6 |
| 31 | 0.50   |        |      |      |      |       |      | 9.0  | —    |
| 32 | 0.44   |        |      |      |      |       |      | 9.5  | —    |
| 33 | 0.48   |        |      |      |      |       |      | 7.7  | —    |
| 34 | 0.44   |        |      |      |      |       |      | 7.2  | —    |
| 35 | 0.59   |        |      |      |      |       |      | 8.6  | —    |
| 36 | 0.29   |        |      |      |      |       |      | 7.0  | 20.8 |
| 37 | 0.36   |        |      |      |      |       |      | 8.5  | 30.5 |
| 38 | 0.36   |        |      |      |      |       |      | 7.0  | 23.3 |
| 39 | 0.50   |        |      |      |      |       |      | 9.5  | 43.2 |
| 40 | 0.50   |        |      |      |      |       |      | 8.0  | 23.7 |

1) Scour dimensions are defined as in Fig.6.

한편, 突然 縮少에 따른 流心方向의 洗掘은 橋臺의 中心을 基準하여 그 上流側의 길이를  $L_1$ , 下流側을  $L_2$ 로 定義하였다(Fig. 6 參照).  $L_1$ 과  $L_2$ 의 値은 Table-2에서와 같았다. 上流側의 洗掘 범위  $L_1$ 은 堤防의 길이  $a$ 의 比, 즉  $L_1/a$ 의 0.6~1.1이며, 下流側의  $L_2/a$ 의 値은 0.7~2.0으로 下流方向의 洗掘의 범위가 더 큰 値이었다. 또한 流心方向의 洗掘의 범위는 模型 堤防의 길이의 2倍以上의 値을 보여 주었다.

Fig. 7은 橋臺 및 堤防의 上下流에서의 橫斷面의 變化를 보여준다. 橋臺의 中心線( $P=3.50m$ )과 그 上流 10cm地點( $P=3.40m$ ), 그리고 中心線의 下流 15( $P=3.65m$ ) 및 30cm地點( $P=3.80m$ )에서의 原地盤과 10分後의 河床高의 差異를 보여 준다. Fig. 7에서와 같이 最大洗掘深은 堤防과 橋臺와 接하는 부분에서 나타나며 堤防前面의 洗掘이 流心 direction의 그것보다 더 急한 傾斜를 보여 주었다. 그리고 堤防의 下流에서는 堆積이 觀察되었으며, 縮少斷面의 下流에서는 全般的인 堆積이 發生하였다. Fig. 7의 河床 變化는 實驗掘數別로 그 規模는 다르나 形態는 거의 類似한 것으로 鉛直堤防과 橋臺

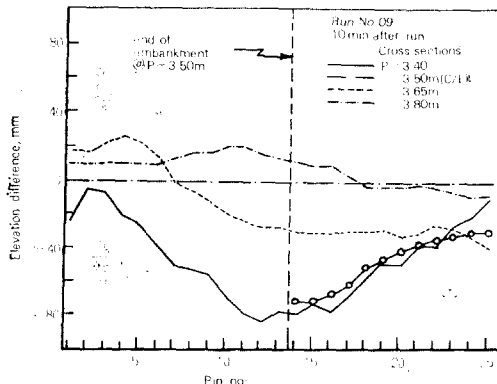


Fig. 7. Channel profiles at different cross sections at 10 minutes after a run (Run No.09)

로 인한 典型的인 洗掘의 形態로 料理되었다.

洗掘로 因한 河床 材料의 水中 安息角은 Table 2에서와 같이 27° 内外였다. 그러나, 安息角은 實驗의 持續時間에 따라 變化하는 경향을 보였다. 즉 持續時間이 10分 内外의 實驗結果는 安息角이 25~43°의 범위로서 平均 31°인 反面, 30分 以後에서

는  $18\sim27^\circ$ 의 범위로서, 平均  $24^\circ$ 이었다. 이와 같은安息角의 變化는, 洗掘 形態가 時間的으로 一定하지 않음을 意味하며 洗掘 速度가 最終 洗掘 規模에 영향을 미칠 수 있는 것으로 料되었다.

#### 나. 洗掘 速度

Fig. 8은 profile meter의 資料로 부터 各測點別時間別斷面平均河床高의 變化를 보여 준다. 洗掘은 時間의 경과에 따라 점차 그 規模가 增加되는 것을 보여 준다. 즉 最初 10分 經過 後의 縮少斷面의 中心線附近에서 平均 1.5cm程度의 洗掘을 보였으며, 20分後에는 2.0cm, 30分後에는 2.1cm로서 그 規模가 增加됨을 알 수 있다. 한편, 縮少模型의 下流區間에서는 全般的인 堆積을 나타내 주었다.

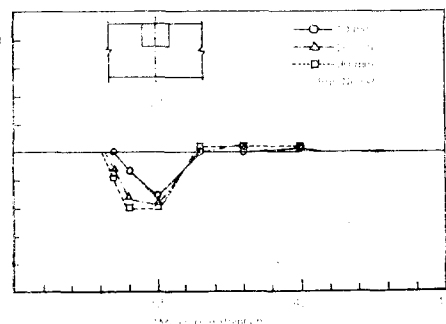


Fig. 8. Average channel elevations at different cross sections at 10, 20, and 30 minutes after a run (Run No.08)

Fig. 9는 測點 位置別 時間別斷面의 實際 地盤高의 變化를 보여 준다. 各 測點別 地盤高의 變化는 時間別 位置別로 相異한 것을 나타내 준다. 最初 10分後의 地盤高는 縮少斷面의 中心線에서 최대의 세굴을 보였으며, 그 下流 区間에는 堆積을 보였다. 그러나, 20分後에는 位置에 따른 河床洗掘高의 變化가 거의 없는 均一한 값을 보여 주며, 이와 같은 均一한 洗掘의 경향은 30分後에도 역시 觀察되었다. 따라서 突然 縮少에 依한 河床洗掘의 發展은 대략 2段階로 区分하여, 초기에는 局部的洗掘段階로 構造物 주위의 하성이 急激히流失되며, 以後에는洗掘의 規模가擴大發展되는 일반적洗掘의 形態를 갖는 것으로 料되었다.

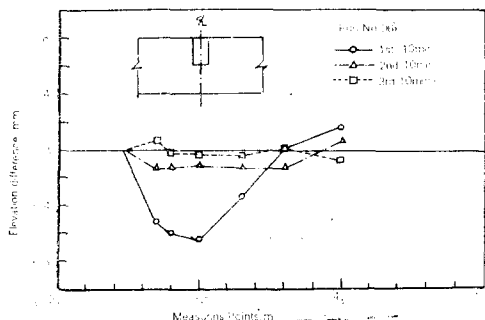


Fig. 9. Net elevation changes at different cross sections during 10 minutes with time (Run No.06)

#### 다. 洗掘 形態 實驗式

洗掘 過程에 關한 次元 解析의 結果로 부터 式(11)을 誘導하였다. 式(11)로 부터 일정 時間의 經過 후의 洗掘 規模를 나타내 주는 幾何的 諸元에 關한 實驗式의 一般型으로 다음과 같은 關係式을 假定하였다.

$$S_e/d = c_1 \left( \frac{a}{d} \right) e_1 \cdot F_r^{0.33} \quad \dots \dots \dots (12)$$

여기서,  $c_1$ 과  $e_1$ 은 係數가 指數이다.

式(12)의 Froude 數의 指數를 0.33으로 定한 것은 Liu 等(1962)의 提防 주위의 河床洗掘의 實驗式<sup>11</sup>의 値을 근거로 한 것이다. 洗掘 實驗式 등의 Froude 數의 指數로는 Shen 等(1969)<sup>12</sup>은 교각 주위의 세굴 속에서 0.67을 그리고 Jain (1981)<sup>13</sup>은 0.25의 値을 使用하였다. 그밖에도 高次 多項式을 利用하거나, 變數로서 定義한 경우도 있었다. 이와 같은 指數의 範圍를 고려할 때 0.33의 値은 絶對의 인 値으로 볼 수는 없겠으나, 式(12)의 關係식을 圖式化한 結果, 洗掘 諸元의 關係가 相互類似한 傾向을 보여 주었기에 그 値을 指定하도록 하였다. (Fig. 10 參照).

Fig. 10은 最大洗掘深과 洗掘範圍 등과 Froude 數, 河川縮少 幅 및 水深 등의相互關係를 보여 준다. 이들의 關係는 實驗의 範圍 以內에서는 그 傾斜가 거의 一致하는 類似한 傾向을 나타내 주고 있다. 따라서, 式(12)의 關係式을 利用洗掘 諸元을 表示할 때 指數  $e_1$ 의 値은 거의 일정할 것으로 料되었다.

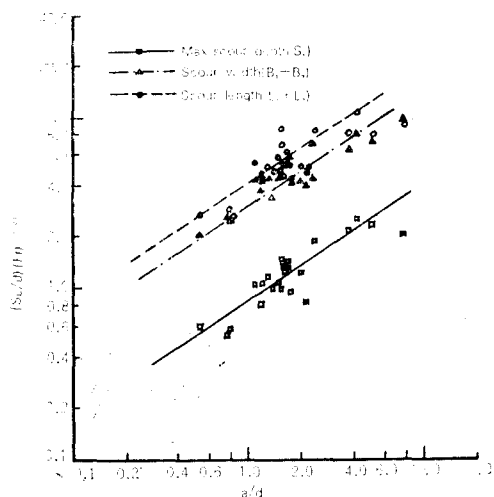


Fig. 10. Relation of  $(S_c/d)F_r^{-0.23}$  and  $a/d$

**Table- 3. Relationships for scour dimensions around vertical embankments and abutments**

| Scour dimensions                     | No. of data | Scour equations                               | Regression Coefficient | Remarks |
|--------------------------------------|-------------|---|------------------------|---------|
| Maximum scour depth ( $S_1$ )        | 14          | $S_1/d = 0.79(a/d)^{0.66} F_r^{0.33}$         | 0.75**                 |         |
| Scour depth at embankments ( $S_2$ ) | 14          | $S_2/d = 0.73(a/d)^{0.61} F_r^{0.33}$         | 0.69**                 |         |
| Scour width ( $B_1$ )                | 14          | $B_1/d = 1.47(a/d)^{0.71} F_r^{0.33}$         | 0.81**                 |         |
| Scour width ( $B_2$ )                | 14          | $B_2/d = 1.79(a/d)^{0.69} F_r^{0.33}$         | 0.85**                 |         |
| Scour length ( $L_1 + L_2$ )         | 14          | $(L_1 + L_2)/d = 3.98(a/d)^{0.65} F_r^{0.33}$ | 0.75**                 |         |

## V. 要約 及 結論

非對稱 USGS Constriction Type I의 鉛直 堤防  
斗 橋臺 構造物 附近의 河床 洗掘 過程을 分析할  
目的으로 水理 實驗을 通하여 洗掘의 規模, 形態,  
그리고 速度 等을 測定하였다. 水理 實驗은 洗掘 過  
程의 次元 解析의 結果로 부터 Froude 數, 堤防 길  
이와 水深 の 比, 그리고 模型의 形狀 因子 等을 變  
數로 假定하여 短形 水路에서 均一한 粒徑의 모래  
( $D_{50} = 0.39\text{mm}$ )를 이용하여 實施하였다.

最大洗掘深은堤防과橋臺의 모서리 가까이에서  
發生되었고洗掘形態는 幅보다 길이가 길었다.洗  
掘은初期에는急激한局部的變化를 보였으나, 時  
間의 經過에 따라一般的洗掘의 특징을 나타냈다.  
持續時間30分後의洗掘形態의幾何的諸元에관  
한 實驗式은次元解析의結果의主要因子의函數  
로서表示하였으며, 이를關係는相似性을 나타내  
주었다.

Table-3은 式(12)의 關係式을 利用 洗掘 形態를  
 나타내는 幾何的 諸元을 Froude 數와 河川縮少幅과  
 水深의 比로서 表示한 것이다. 式(12)의 常數와 指  
 數는 最少 自乘法을 利用하여 決定하였다. T-table3  
 에서와 같이 最大 洗掘深  $S_1$ , 堤防 直下 洗掘深  $S_2$ ,  
 洗掘幅 變數  $B_1$  및  $B_2$ , 그리고 洗掘 近長  $L_1+L_2$ , 等  
 的 因子의 關係式의 指數  $e_1$ 의 值은 0.61~0.71의  
 範圍로서 平均 0.66이 있다. 따라서 本 實驗 結果  
 로 부터 鉛直 堤防과 橋臺附近의 河床 洗掘의 幾  
 何的 諸元의 一般式은 다음과 같이 表示할 수 있  
 다. 즉

$$S_c/d = c_1(a/d)^{0.66} F_r^{-0.28} \quad \dots \dots \dots \quad (13)$$

한편, Table 3-은 洗掘諸元의 實驗式의 회귀 계수의  
값이 0.69~0.85의 範圍로서 각각 高度의 有意性이  
있음을 보여 준다.

## 參 考 文 獻

1. ASCE. 1975. Sedimentation engineering. ASCE Manual No.54. 745p.
  2. Blaisdell, F.W., C.L. Anderson, & G.G. Hebaus, 1981. Ultimate dimensions of local scour. J. Hyd. Div. Proc. ASCE. 107(HY3) : 327-337.
  3. Chow, V.T., 1959. Open-channel hydraulics. McGraw-Hill Book Co., N.Y. 680p.
  4. Gill, M.K., 1972. Erosion of sand beds around spur dikes. J. Hyd. Div., Proc. ASCE 98(HY9) : 1587-1602.
  5. Jain, S.C., 1981. Maximum clear-water scour around circular piers. J. Hyd. Div. Proc. ASCE 107 (HY5) : 611-626.
  6. Laursen, E.M., 1962. Scour at bridge crossings. Trans. ASCE 127 (Part I) : 166-209.
  7. Neil, C.R., 1970. Local scour around bridge

- piers, discussion. J. Hyd. Div. Proc. ASCE 96 (HY5) : 1224-1228.
8. Park, S.W., S. Mostaghimi, J.K. Mitchell, & L.K. Ewing, 1983. Quasi-two dimensional overland flow simulation using geometric element relationships. 1983 Int. Symp. on Urban Hydrology, Hydraulics and Sediment Control. Univ. of Kentucky, 269-278.
9. Rajaratnam, N. & S. Beltaos, 1977. Erosion by impinging circular jets. J. Hyd. Div. Proc. ASCE. 103 (HY 10) : 1191-1205.
10. Ramu, K.L.V., 1973. Erosion of sand beds around spur dikes, discussion. J. Hyd. Div. Proc. ASCE 99 (HY 8) : 1270-1274.
11. Shen, H.W., V.R. Schneider, & S. Karaki, 1969. Local Scour around bridge piers. J. Hyd. Div. Proc. ASCE 95 (HY6) : 1919-1940.
12. Simons, D.B. & F. Senturk, 1977. Sedimentation technology. Wat. Res. Pub., Fort Collins, 807p.
13. 農業振興公社, 1983. 錦江 河口号 設置豆 因한河川形態變化研究(I). 서울大 農大 附屬 農業開發研究所. 305p.